



Universidade Estadual de Campinas  
Instituto de Computação da Unicamp

## Projeto Final de MC458

Trabalho que desenvolve duas implementações de matrizes esparsas: a primeira combina uma tabela hash com listas ligadas, enquanto a segunda utiliza uma árvore AVL.

Lucas V. Lima (247025)  
Kauan C. da Silva (240030)  
Bruno M. Saback (281746)

## 1 DESCRIÇÃO DA ESTRUTURA DE DADOS (HASH)

A matriz esparsa é representada por uma combinação de duas estruturas de indexação que permitem otimizar tanto o acesso direto à posição  $(i, j)$  quanto operações que percorrem todos os elementos não nulos, como soma e multiplicação.

### 1.1 Nós de Armazenamento

Cada elemento não nulo é armazenado em um nó da seguinte forma:

```
1 struct No_hash {  
2     int i, j;                      // coordenadas  
3     int valor;                    // valor armazenado  
4     No_hash *prox_hash;           // proximo no bucket da hash  
5     No_hash *prox.todos;          // proximo na lista global  
6 };
```

O ponteiro *prox\_hash* resolve colisões na tabela hash através de encadeamento separado, enquanto o ponteiro *prox.todos* conecta todos os elementos não nulos da matriz em uma única lista global.

### 1.2 Estrutura da Matriz

A matriz esparsa contém:

- **tabela\_hash**: vetor de tamanho variável, redimensionado automaticamente por *rehash* sempre que o fator de carga ultrapassa o limite (0.75). Cada posição do vetor é um bucket que armazena uma lista encadeada de elementos com o mesmo valor de hash.
- **lista.todos**: lista encadeada contendo todos os elementos não nulos da matriz, utilizada em percursos gerais como soma e multiplicação.
- **usados**: número de elementos atualmente armazenados.

### 1.3 Estrutura para Transposta

Para permitir que a operação de transposição  $A^T$  que tenha custo  $\mathcal{O}(1)$ , utiliza-se a seguinte estrutura:

```
1 struct Matrizes {  
2     p_matriz_esparsa normal;  
3     p_matriz_esparsa transposta;  
4 };
```

A matriz transposta é atualizada em paralelo durante as inserções e demais operações (eg.  $A \times B = C$ ,  $C^T = B^T \times A^T$ ), assim, basta retornar o ponteiro correspondente a transposta. Isso garante a complexidade constante.

**Observação:** a função de hashing utilizada foi retirada de uma implementação pública amplamente empregada para dispersão eficiente de pares de inteiros (a função MurmurHash3 para a chave composta  $(i, j)$ ).

## 2 ANÁLISE TEÓRICA DE COMPLEXIDADE

Denotemos:

- $k$ : número de elementos não nulos,
- $n$ : número de linhas,
- $m$ : número de colunas,
- $T$ : tamanho atual da tabela hash.

O tamanho da tabela hash **não é constante**: ele cresce proporcionalmente ao número de elementos, mantendo o fator de carga ( $\alpha$ ) abaixo de um limite fixo,  $L = 0.75$ .

$$\alpha = \frac{k}{T} \leq L \implies T \geq \frac{k}{L}$$

Dessa forma,  $T = \Theta(k)$ , e a carga permanece  $\alpha = O(1)$ . Isso garante bom desempenho médio, pois o tamanho esperado das listas de colisão é constante.

### 2.1 Uso de Memória

A estrutura de dados utiliza  $k$  nós para armazenar os elementos não nulos e um vetor de ponteiros de tamanho  $T$  para a tabela hash.

O consumo total de memória é dado por:

$$\text{Memória} = O(\underbrace{k}_{\text{Nós}} + \underbrace{T}_{\text{Tabela Hash}})$$

Como  $T = \Theta(k)$ , o custo de memória é:

$$O(k)$$

O consumo é estritamente proporcional à quantidade de elementos não nulos, o que é ideal para matrizes esparsas.

### 2.2 Acesso e Inserção $\mathbf{A}[i, j]$

O processo de acesso ou inserção envolve três passos principais:

1. Cálculo do valor de hash da chave  $(i, j)$ :  $O(1)$ .
2. Acesso ao bucket na tabela hash:  $O(1)$ .

3. Travessia da lista encadeada do bucket para buscar a chave:  $\Theta(\ell)$ , onde  $\ell$  é o comprimento da lista de colisões para aquela chave.

### **Complexidade Esperada (Média)**

O desempenho da tabela hash por encadeamento é determinado pelo fator de carga  $\alpha$ . Se a função de hashing distribui as chaves uniformemente, o comprimento esperado da lista de colisões é  $E[\ell] = \alpha$ . Como o *rehash* garante que  $\alpha = k/T \leq L = 0.75$ , o comprimento esperado é constante:

$$\text{Acesso e Inserção Esperados} = O(1) + O(E[\ell]) = O(1).$$

Uma inserção pode ocasionalmente (em média com  $O(1)$  custo amortizado) acionar um *rehash*, que custa  $O(k)$  para reconstruir a tabela. No entanto, o custo amortizado da inserção, considerando o *rehash*, também é  $O(1)$ .

### **Complexidade de Pior Caso**

No pior caso, se todos os  $k$  elementos não nulos colidirem no mesmo bucket (situação altamente improvável com uma boa função de hash), a travessia da lista encadeada degenera para busca linear:

$$\text{Acesso e Inserção Pior Caso} = O(1) + O(k) = O(k).$$

## **2.3 Transposta $A^T$**

A transposta é armazenada em paralelo em uma segunda estrutura (*matrizes->transposta*).

- **Criação da Transposta:** Ao criar o objeto *Matrizes*, o custo é apenas  $O(1)$  para alocar e inicializar a segunda estrutura (*matrizes->transposta*).
- **Manutenção:** Cada operação de *inserir\_atualizar\_matrizes* insere/atualiza  $A[i, j]$  e  $A^T[j, i]$  (com coordenadas trocadas). O custo é dobrado, mas  $O(1) + O(1) = O(1)$  em média.
- **Acesso à Transposta:** Retorna um ponteiro para a estrutura já existente.

$$\text{Transposta} = O(1)$$

## **2.4 Soma de Matrizes $C = A + B$**

A soma é implementada percorrendo todos os elementos não nulos de  $A$  e de  $B$ , e inserindo/atualizando-os na matriz resultado  $C$ .

1. Percorrer  $A$ : Os  $k_A$  elementos são percorridos pela *lista.todos*. Custo  $O(k_A)$ .
2. Inserir  $A$  em  $C$ : Cada elemento de  $A$  é inserido em  $C$ . Como a inserção em  $C$  custa  $O(1)$  em média, o custo total é  $O(k_A) \times O(1) = O(k_A)$ .
3. Percorrer  $B$ : Os  $k_B$  elementos são percorridos pela *lista.todos*. Custo  $O(k_B)$ .
4. Somar  $B$  em  $C$ : Para cada elemento  $B[i, j]$ , acessa-se  $C[i, j]$  (custo  $O(1)$  em média), e o resultado é inserido/atualizado em  $C$  (custo  $O(1)$  em média).

### **Complexidade Esperada (Média)**

O custo total é dominado pelos percursos e pelas operações de inserção/acesso em  $C$ :

$$\text{Soma Esperada} = O(k_A) + O(k_B) = O(k_A + k_B).$$

### **Complexidade de Pior Caso**

Se as operações internas de acesso/inserção na matriz  $C$  degenerarem para o pior caso  $O(k_C)$  (onde  $k_C$  é o número de elementos não nulos em  $C$ ,  $k_C \leq k_A + k_B$ ):

- Inserir  $A$  em  $C$ :  $k_A \times O(k_C) = O(k_A k_C)$ .
- Acessar/Atualizar  $C$  com elementos de  $B$ :  $k_B \times O(k_C) = O(k_B k_C)$ .

$$\text{Soma Pior Caso} = O(k_A k_C + k_B k_C).$$

## **2.5 Multiplicação por Escalar $\alpha A$**

A operação percorre a *lista.todos* uma única vez e multiplica o *valor* de cada nó. Esta operação não envolve buscas ou inserções na tabela hash.

$$\text{Multiplicação por Escalar} = O(k).$$

O custo é o mesmo para o caso esperado e o pior caso.

## **2.6 Multiplicação de Matrizes $C = A \times B$**

A implementação percorre todos os  $k_A$  elementos de  $A$  e, para cada um, percorre todos os  $k_B$  elementos de  $B$ .

O algoritmo executa  $k_A \times k_B$  iterações no loop mais interno. Dentro deste loop, a condição ( $b \rightarrow i == k$ ) filtra os elementos  $B[k, j]$  para o cálculo do termo  $C[i, j] = \sum_k A[i, k]B[k, j]$ .

Para cada iteração (onde  $(a, b)$  são nós de  $A$  e  $B$ ):

$$\text{Operação Interna} = \underbrace{O(1)}_{\text{Acesso (chave } i,j\text{)}} + \underbrace{O(1)}_{\text{Inserção/Atualização}}$$

O custo total é o número de iterações multiplicado pelo custo da operação interna.

### **Complexidade Esperada (Média)**

Com acesso e inserção esperados em  $O(1)$ :

$$\text{Multiplicação Esperada} = \sum_{a \in A} \sum_{b \in B} O(1) = O(k_A k_B).$$

### **Complexidade de Pior Caso**

Se as operações de acesso/inserção na matriz  $C$  degenerarem para o pior caso  $O(k_C)$ :

$$\text{Multiplicação Pior Caso} = \sum_{a \in A} \sum_{b \in B} O(k_C) = O(k_A k_B k_C).$$

## **2.7 Resumo das Complexidades**

**Tabela 1 – Complexidades da estrutura implementada.**

<b>Operação</b>	<b>Complexidade Esperada</b>	<b>Pior Caso</b>
Memória total	$O(k)$	$O(k)$
Acessar $A[i, j]$	$O(1)$	$O(k)$
Inserir/Atualizar $A[i, j]$	$O(1)$ (amortizado)	$O(k)$
Transposta $A^T$ (acesso/retorno)	$O(1)$	$O(1)$
Soma $A + B$	$O(k_A + k_B)$	$O(k_A k_C + k_B k_C)$
Multiplicação por escalar	$O(k)$	$O(k)$
Multiplicação $A \times B$	$O(k_A k_B)$	$O(k_A k_B k_C)$

## **3 DESCRIÇÃO DA ESTRUTURA DE DADOS (ÁRVORE AVL ANINHADA)**

A segunda estrutura escolhida para a representação da matriz esparsa baseia-se em uma abordagem hierárquica utilizando árvores binárias de busca平衡adas (AVL). A matriz é representada como uma “árvore de árvores”, onde a estrutura externa indexa as linhas e as estruturas internas indexam as colunas. Essa abordagem elimina o uso de vetores, melhorando a complexidade assintótica das operações em Matriz Esparsa que acessam todos os elementos

não nulos, i.e., Multiplicação de Matrizes, Multiplicação de Escalar, etc.

### 3.1 Nós de Armazenamento

A estrutura é composta por dois tipos de nós. O nó de linha (*AVL\_Linha*) serve como índice para as linhas existentes, enquanto o nó de coluna (*AVL\_Coluna*) armazena efetivamente o valor e a coordenada da coluna.

```
1 struct AVL_Coluna {
2     int j;           // indice da coluna
3     int alt;         // altura para balanceamento
4     int valor;       // valor armazenado
5     p_avl_coluna esq; // filho a esquerda
6     p_avl_coluna dir; // filho a direita
7 };
8
9 struct AVL_Linha {
10    int i;           // indice da linha
11    int alt;         // altura para balanceamento
12    p_avl_coluna col; // raiz da arvore de colunas desta linha
13    p_avl_linha esq; // filho a esquerda
14    p_avl_linha dir; // filho a direita
15};
```

Esta separação permite que a busca por um elemento  $A[i, j]$  seja realizada em duas etapas: primeiro busca-se a linha  $i$  na árvore externa e, em seguida, busca-se a coluna  $j$  na árvore interna correspondente.

### 3.2 Estrutura da Matriz

A matriz esparsa é encapsulada em um contêiner principal que gerencia tanto a matriz original quanto a sua transposta:

- **matriz**: ponteiro para a raiz da árvore AVL de linhas (*p\_avl\_linha*). Representa a matriz  $A$  acessível por *linha*  $\rightarrow$  *coluna*.
- **transposta**: ponteiro para a raiz de uma estrutura idêntica, mas onde os índices  $i$  e  $j$  são invertidos durante a inserção.

### 3.3 Estrutura para Transposta

A fim de cumprir o requisito de obtenção da transposta em  $O(1)$ , a estrutura mantém a transposta atualizada em tempo real:

```
1 struct Matriz_Arvore {
2     p_avl_linha matriz;
3     p_avl_linha transposta;
4 };
```

A função *transposta(matriz)* cria um novo contêiner onde os ponteiros *matriz* e *transposta* são invertidos, permitindo acesso imediato sem necessidade de cópia profunda ou reprocessamento dos dados.

## 4 ANÁLISE TEÓRICA DE COMPLEXIDADE

Denotemos:

- $k$ : número total de elementos não nulos na matriz.
- $N_L$ : número de linhas não vazias ( $N_L \leq \min(n, k)$ ).
- $k_i$ : número de elementos não nulos na linha  $i$ .

Diferentemente da tabela hash, a árvore AVL garante que a altura da árvore seja sempre limitada por  $O(\log N)$ , onde  $N$  é o número de nós na árvore. Não há redimensionamento de vetores (*rehash*), o que oferece tempos de execução mais previsíveis (pior caso garantido).

### 4.1 Uso de Memória

A estrutura aloca memória dinamicamente para cada elemento não nulo (um nó *AVL\_Coluna*) e para cada linha não vazia (um nó *AVL\_Linha*).

O consumo total de memória é:

$$\text{Memória} = O(\underbrace{k}_{\text{Nós Coluna}} + \underbrace{N_L}_{\text{Nós Linha}})$$

Como o número de linhas não vazias nunca excede o número de elementos ( $N_L \leq k$ ), o consumo assintótico é:

$$O(k)$$

A estrutura é extremamente eficiente em espaço, alocando apenas o estritamente necessário.

### 4.2 Acesso e Inserção $\mathbf{A}[i, j]$

O acesso a um elemento envolve duas descidas em árvores AVL:

1. Busca na árvore de linhas para encontrar  $i$ : Custo  $O(\log N_L)$ .
2. Busca na árvore de colunas para encontrar  $j$ : Custo  $O(\log k_i)$ .

Como  $N_L \leq k$  e  $k_i \leq k$ , a complexidade é limitada por  $O(\log k)$ .

### Complexidade Garantida (Pior Caso)

Graças ao balanceamento da AVL, não existem casos degenerados (como listas encadeadas). Portanto:

$$\text{Acesso e Inserção} = O(\log k).$$

Esta é a principal vantagem desta estrutura sobre a hash: o pior caso é estritamente logarítmico, não linear.

### 4.3 Transposta $A^T$

Assim como na estrutura anterior, a transposta é mantida em paralelo.

- **Manutenção:** Na função *inserir\_matriz*, cada inserção é realizada duas vezes: uma na *matriz* (custo  $O(\log k)$ ) e outra na *transposta* (custo  $O(\log k)$ ). O custo total permanece  $O(\log k)$ .
- **Acesso:** A função *transposta* apenas aloca um novo contêiner e inverte os ponteiros.

$$\text{Obter Transposta} = O(1)$$

### 4.4 Soma de Matrizes $C = A + B$

A operação de soma (*soma\_matrizes*) realiza os seguintes passos:

1. **Cópia Profunda de A:** A função *copiar* realiza um percurso completo (DFS) na árvore de A para criar C. Como visita cada nó uma vez, o custo é  $O(k_A)$ .
2. **Fusão com B:** A função *somar\_linhas* percorre a árvore B. Para cada elemento de B, realiza uma busca e inserção na estrutura de C.

Para cada um dos  $k_B$  elementos de B, realizamos uma operação de inserção na árvore C, que possui (no máximo)  $k_A + k_B$  elementos. O custo de cada inserção é  $O(\log(k_A + k_B))$ .

$$\text{Soma Total} = O(k_A) + O(k_B \cdot \log(k_A + k_B)).$$

Simplificando, o custo é dominado pela inserção dos elementos de B na estrutura:

$$O(k_B \log k_{result})$$

### 4.5 Multiplicação por Escalar $\alpha A$

A função *escalar* utiliza recursão (DFS) através das funções *mult\_escalar* e *mult\_escalar\_coluna*. Ela visita cada nó da estrutura (linhas e colunas) exatamente uma vez para atualizar o valor. Não há buscas ou rotações.

$$\text{Multiplicação por Escalar} = O(k).$$

## 4.6 Multiplicação de Matrizes $C = A \times B$

O algoritmo implementado (*multiplicacao\_matrizes*) utiliza a estratégia de iterar sobre os elementos não nulos.

1. Itera sobre todas as linhas de A.
2. Itera sobre todas as colunas de uma linha de A (elemento  $A_{il}$ ).
3. Para cada  $A_{il}$ , busca a linha correspondente  $l$  na matriz B ( $B_{lj}$ ). Esta busca custa  $O(\log N_{L,B})$ .
4. Itera sobre as colunas de B na linha  $l$ .
5. Realiza a soma do produto em  $C[i, j]$ . Isso requer uma busca/inserção na árvore C, com custo  $O(\log k_C)$ .

O número de operações internas é proporcional ao número de pares  $(A_{ik}, B_{kj})$  que contribuem para o resultado. Se definirmos  $N_{ops}$  como o número de multiplicações elementares necessárias:

$$\text{Multiplicação} = O(N_{ops} \cdot \log k_C)$$

No pior caso, isso pode ser aproximado considerando  $d_B$  como o grau médio (número de elementos por linha) de B:

$$\text{Complexidade} = O(k_A \cdot d_B \cdot \log k_C)$$

O fator  $\log k_C$  surge devido à necessidade de buscar a posição correta na árvore de resultados para acumular a soma.

## 4.7 Resumo das Complexidades

A Tabela 2 resume o desempenho da estrutura baseada em AVL. Note a consistência entre o caso esperado e o pior caso, característica fundamental das árvores平衡adas.

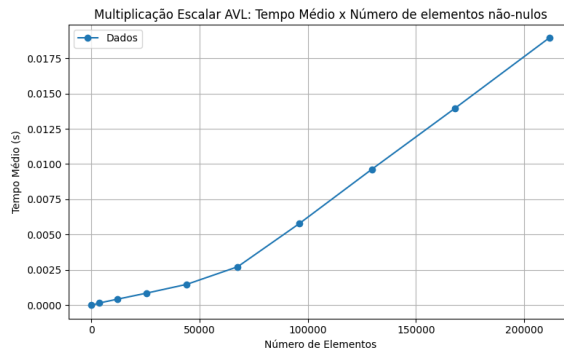
**Tabela 2 – Complexidades da estrutura implementada (AVL).**

Operação	Complexidade Esperada	Pior Caso (Garantido)
Memória total	$O(k)$	$O(k)$
Acessar $A[i, j]$	$O(\log k)$	$O(\log k)$
Inserir/Atualizar $A[i, j]$	$O(\log k)$	$O(\log k)$
Transposta $A^T$ (acesso)	$O(1)$	$O(1)$
Soma $A + B$	$O(k_B \log k_C + k_A)$	$O(k_B \log k_C + k_A)$
Multiplicação por escalar	$O(k)$	$O(k)$
Multiplicação $A \times B$	$O(k_A \cdot d_B \cdot \log k_C)$	$O(k_A \cdot d_B \cdot \log k_C)$

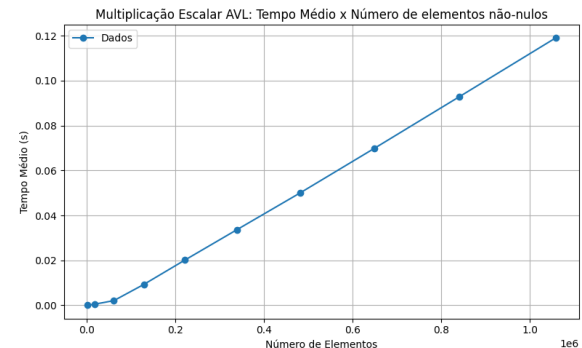
## 5 RESULTADOS EXPERIMENTAIS VISUALIZADOS

A seguir os gráficos mostram o tempo de execução para diferentes esparcidades em relação ao número de nós não nulos.

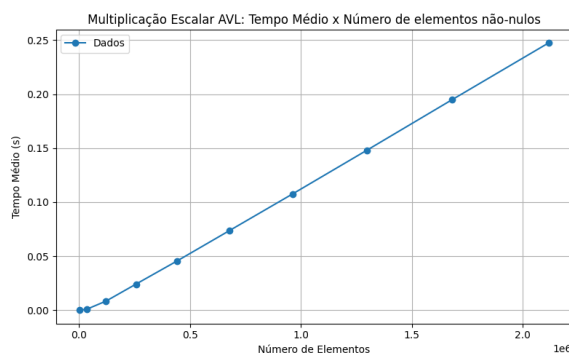
**Figura 1 – Resultados para Multiplicação por Escalar (AVL)**



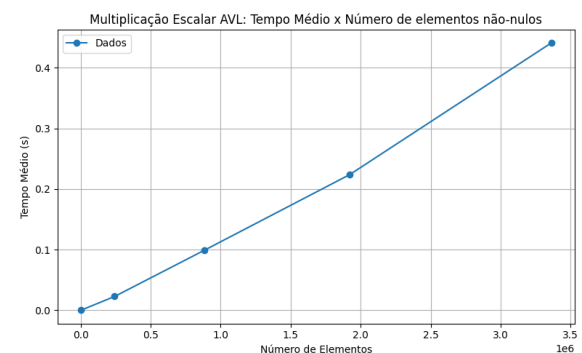
(a) Cenário: Um



(b) Cenário: Cinco

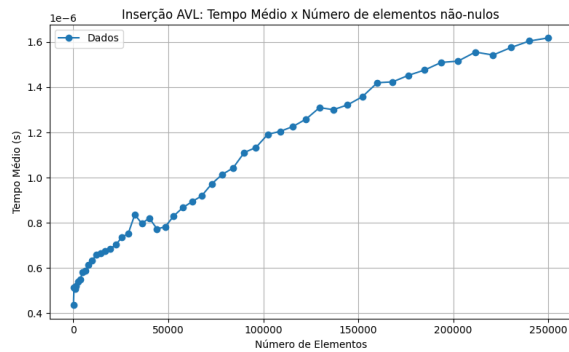


(c) Cenário: Dez

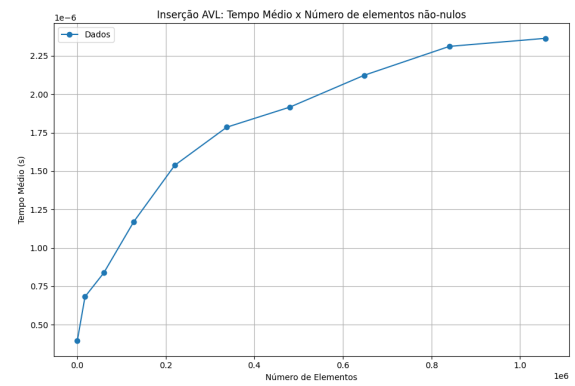


(d) Cenário: Vinte

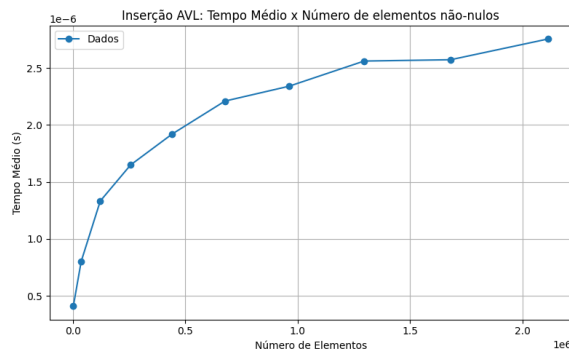
**Figura 2 – Resultados para Inserção (AVL)**



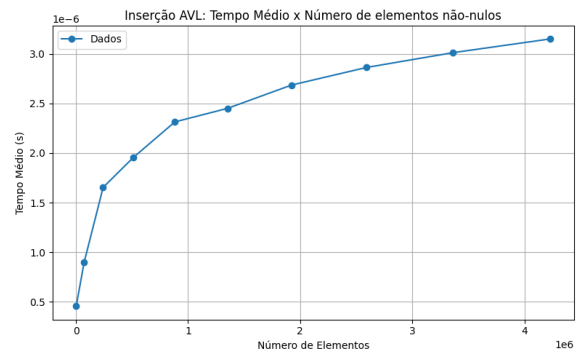
**(a) Cenário: Um**



**(b) Cenário: Cinco**

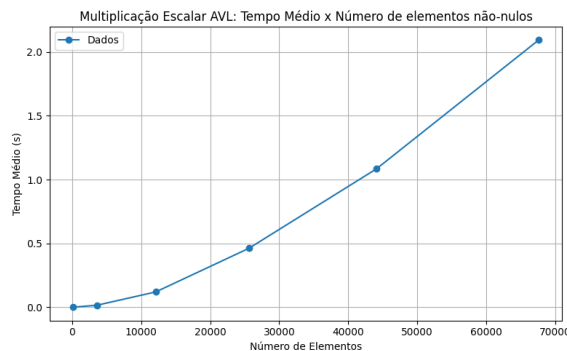


**(c) Cenário: Dez**

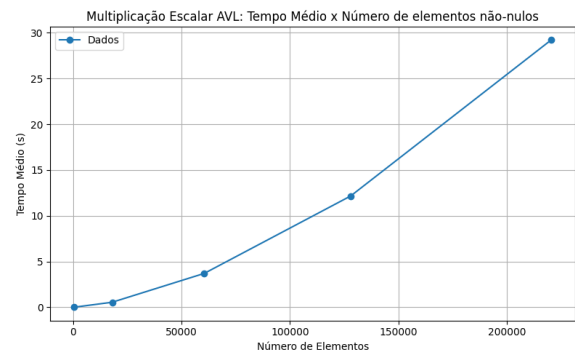


**(d) Cenário: Vinte**

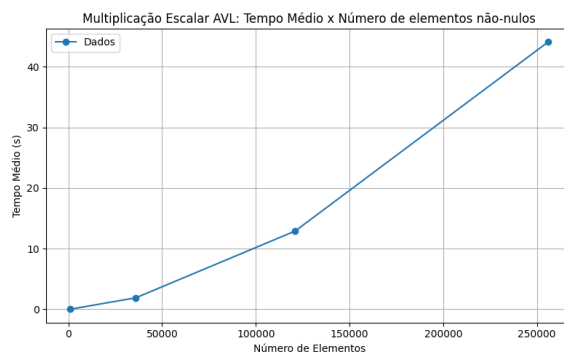
**Figura 3 – Resultados para Multiplicação de Matrizes (AVL)**



**(a) Cenário: Um**

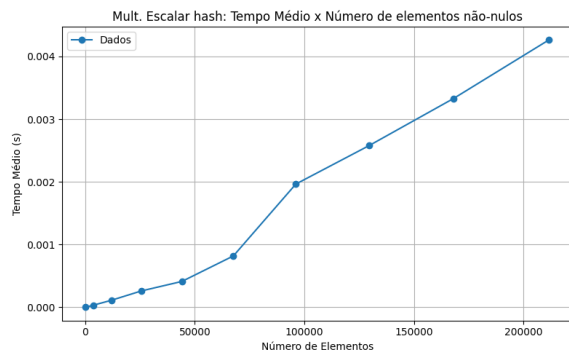


**(b) Cenário: Cinco**

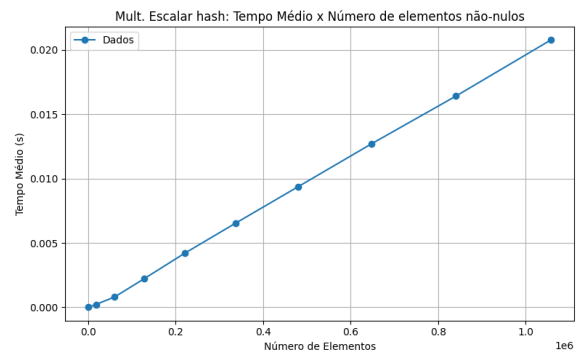


**(c) Cenário: Dez**

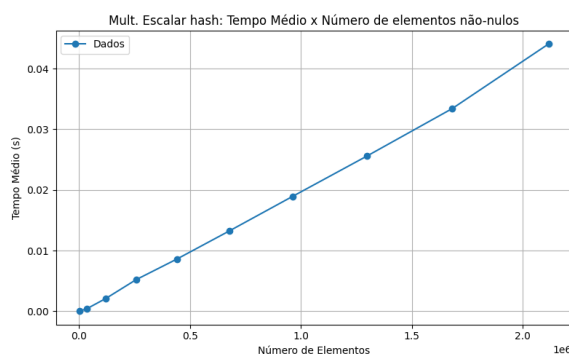
**Figura 4 – Multiplicação por Escalar (Hash)**



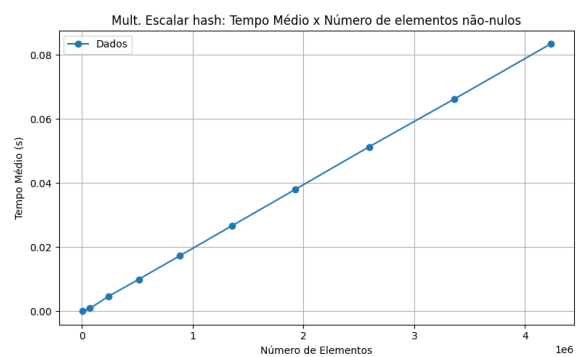
**(a) Cenário: Um**



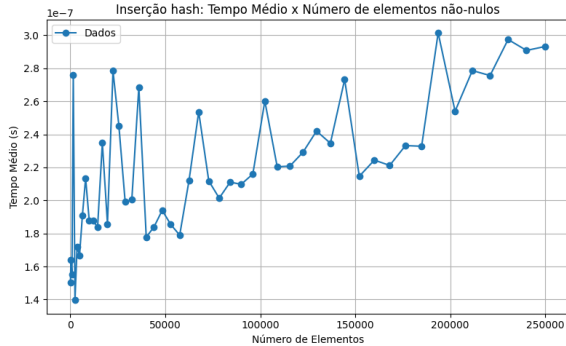
**(b) Cenário: Cinco**



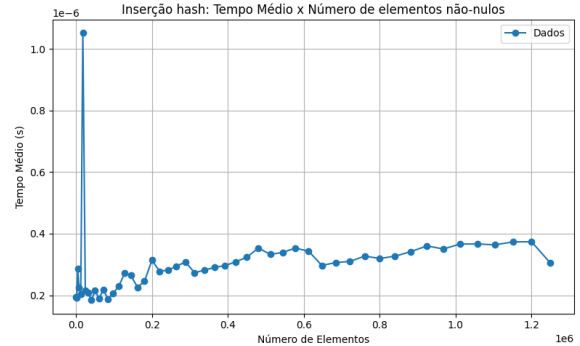
**(c) Cenário: Dez**



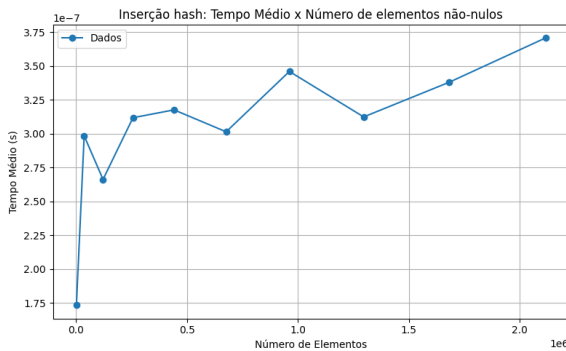
**(d) Cenário: Vinte**

**Figura 5 – Inserção de Elementos (Hash)**

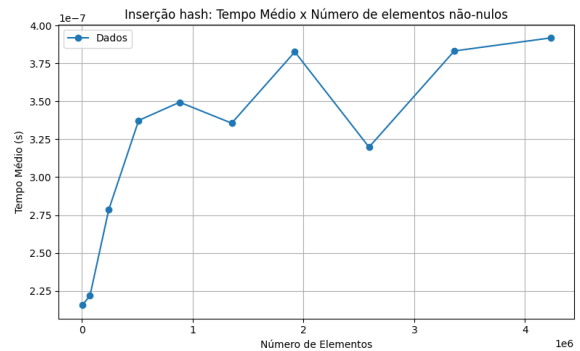
(a) Cenário: Um



(b) Cenário: Cinco

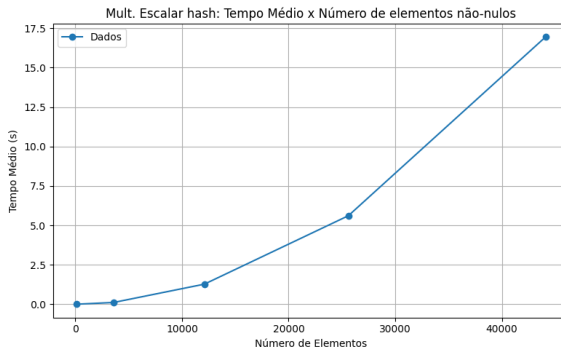


(c) Cenário: Dez

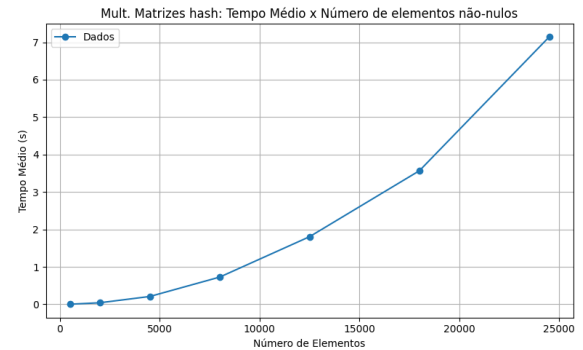


(d) Cenário: Vinte

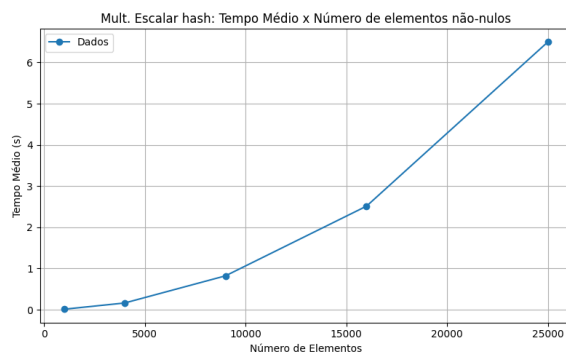
Vale notar que os gráficos de inserção na estrutura Hash não apresentam uma linha perfeitamente constante, exibindo oscilações visíveis. Esse comportamento deve-se ao tamanho inicial reduzido da tabela, que força a execução frequente de operações de *rehash* (redimensionamento) conforme o fator de carga é atingido. O custo computacional dessas realocações gera picos momentâneos no tempo de execução, dificultando a visualização empírica imediata da complexidade  $O(1)$  amortizada.

**Figura 6 – Multiplicação de Matrizes (Hash)**

(a) Cenário: Um



(b) Cenário: Cinco



(c) Cenário: Dez

## 6 CONCLUSÃO

A análise comparativa entre as implementações baseadas em Tabela Hash e Árvore AVL evidenciou um claro *trade-off* entre desempenho médio e previsibilidade. Enquanto a estrutura de Hash oferece complexidade amortizada  $O(1)$ , ideal para cenários de acesso aleatório intenso, os resultados experimentais corroboraram que os custos de redimensionamento (*rehash*) introduzem oscilações de desempenho. Em contrapartida, a abordagem hierárquica com Árvores AVL, embora possua um custo teórico logarítmico  $O(\log k)$ , demonstrou superioridade na estabilidade das operações e na eficiência de memória, eliminando os riscos de pior caso linear ( $O(k)$ ) associados a colisões. Portanto, conclui-se que a escolha entre as estruturas depende da criticidade da aplicação: a Hash é preferível para maximizar a velocidade média, enquanto a AVL é a escolha robusta para sistemas que exigem tempos de resposta consistentes e garantidos.

## Referências

Austin Appleby. Murmurhash3. <<https://github.com/aappleby/smhasher>>, 2011.

Thomas H. Cormen, Charles E. Leiserson, Ronald L. Rivest, and Clifford Stein. *Introduction to Algorithms*. The MIT Press, 2nd edition, 2001.